

7.8. DEFUZZIFICARE

Operatia de asignare a unei valori reale corespunzatoare unei functii de apartenenta se numeste *defuzzificare*, fiind necesara in numeroase aplicatii in care rezultatele sunt fuzzy.

In esenta, defuzzificarea reprezinta procesul de transformare a unei marimi fuzzy intr-o marime crisp. Iesirea unui proces (sistem) fuzzy poate fi - din punct de vedere logic - reuniunea a doua sau mai multe functii de apartenenta fuzzy, definite pe universul de discurs al variabilei de iesire. De exemplu, putem presupune ca iesirea fuzzy a unui sistem este alcautita din doua parti: prima parte de forma trapezoidalala \tilde{C}_1 si a doua - de forma triunghiulara \tilde{C}_2 . Reuniunea acestor doua functii de apartenenta este multimea fuzzy $\tilde{C} = \tilde{C}_1 \cup \tilde{C}_2$. In general, iesirea fuzzy \tilde{C} a unui proces poate implica mai multe functii de apartenenta fuzzy de diferite forme; in acest caz $\tilde{C} = \bigcup_{i=1}^k \tilde{C}_i$. Corespunzator conventiei adoptate exista mai multe metode de defuzzificare, alegerea metodei in aplicatii bazandu-se pe criterii care tin de aprecierea rezultatelor obtinute in fiecare aplicatie data.

a) Metoda maximului functiei de apartenenta. Aceasta metoda furnizeaza ca rezultat al defuzzificarii, valoarea crisp u^* , pentru care $\mu_{\tilde{C}}(u^*) \geq \mu_{\tilde{C}}(u), \forall u \in U$ (fig. 7.11). Daca functia de apartenenta isi atinge maximul intr-un singur punct, valoarea *reprezentativa* a functiei de apartenenta se considera ca fiind valoarea variabilei (u^*) pentru care se atinge maximul respectiv.

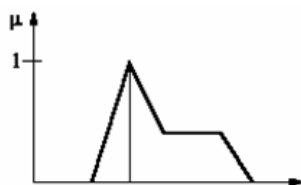


Fig. 7.11

b) Metoda (abscisei) centrului de masa este una dintre cele mai utilizate metode de defuzzificare si permite calculul valorii u^* (fig. 7.12) conform relatiei:

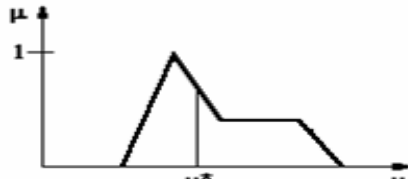


Fig. 7.12

$$u^* = \frac{\int \mu_{\tilde{C}}(u) \cdot u \cdot du}{\int \mu_{\tilde{C}}(u) \cdot du}. \quad (7.47)$$

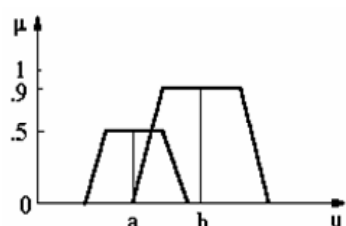


Fig. 7.13

c) Metoda mediei ponderate este aplicabila pentru functii de apartenenta simetrice, fiind prezentata in figura 7.13 din care rezulta ca valoarea defuzzificata se obtine prin ponderarea valorilor functiilor de apartenenta in punctele de maxim:

$$u^* = \frac{a(.5) + b(.9)}{.5+.9}. \quad (7.48)$$

In cazul in care functia de apartenenta isi atinge maximul in mai multe puncte, sau pe unul sau mai multe intervale, se poate aplica metoda punctului mediu sau metoda mediei maximelor prezentata in cele ce urmeaza.

d) Metoda mediei maximelor presupune calculul lui u^* (fig. 7.14) unde:

$$u^* = (a + b) / 2. \quad (7.49)$$

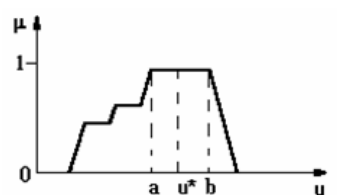


Fig. 7.14

7.9. AGREGAREA REGULILOR FUZZY

Majoritatea sistemelor bazate pe reguli contin mai multe reguli. Procesul de obtinere a conluziei globale pornind de la contributia individuala a consecventului fiecarei reguli din baza de reguli se numeste *agregarea regulilor*.

Exemplu: Fie o problema de decizie bazata pe cunostinte imprecise, in care intervin trei multimi fuzzy B_1 , B_2 , B_3 a caror functii de apartenenta sunt reprezentate in figura 7.15.

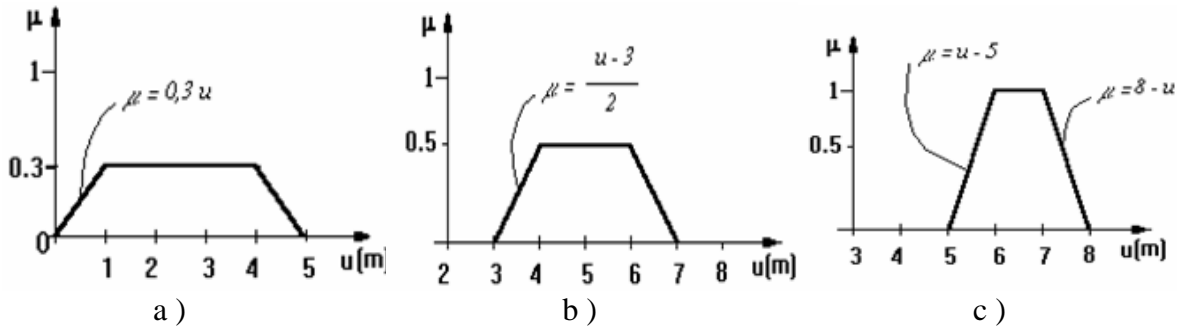
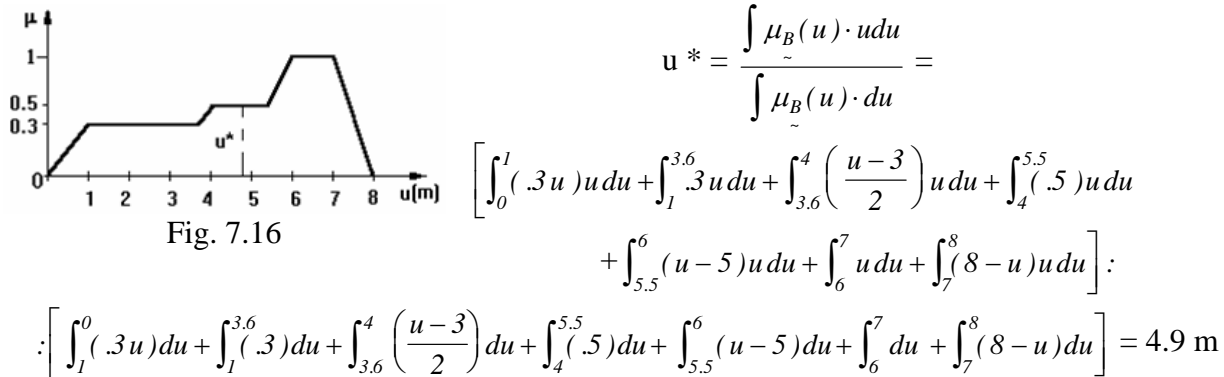


Fig. 7.15 - Functiile de apartenenta pentru \tilde{B}_1 , \tilde{B}_2 , \tilde{B}_3

Se cere sa se determine in urma agregarii acestor cunostinte valoarea reala a raspunsului. In concordanta cu metoda centrului de masa se poate calcula u^* astfel (fig. 7.16):



In conformitate cu metoda mediei ponderate rezulta (fig. 7.17. a):

$$u^* = \frac{(.3 \times 2.5) + (.5 \times 5) + (1 \times 6.5)}{.3 + .5 + 1} = 5.41 \text{ m},$$

iar in conformitate cu metoda mediei maximelor (fig. 7.17.b) rezulta: $u^* = (6 + 7) / 2 = 6.5 \text{ m}$.

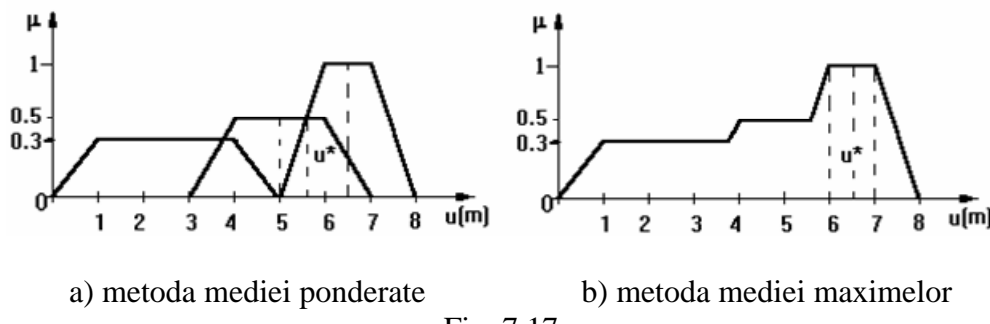


Fig. 7.17

7.10. CONVERSIA DINTRE VARIABILE FUZZY SI CANTITATILE PRECISE

La iesirea sistemului se poate utiliza un instrument pentru masurarea erorii e si calculul variatiei erorii Δe ambele fiind numere crisp. O procedura standard de fuzzificare permite obtinerea functiilor de apartenenta corespunzatoare cantitatilor fuzzy (\tilde{A}_i , \tilde{B}_j) → vezi cap.7.5. Sistemul de control fuzzy primește la intrare (de la iesirea procesului) fapte de tipul \tilde{A} și \tilde{B} producând la

iesirea sa valoarea fuzzy \tilde{C} (vezi cap.7.5), corespunzatoare marimii de comanda conform tabelului 7.3. Inainte insa de realizarea actiunii de control trebuie de obtinut marimea de control precisa Δe prin conversia lui C in Δu . Acest lucru se obtine printr-o metoda de defuzificare.

Realizarea tableei de control. Cand procedurile anterioare au fost realizate pentru toate valorile corespunzatoare lui e si Δe se obtine tabela de control, care poate arata ca in tabelul 7.4.

Tabelul 7.4

e	Δe												
	-6	-5	-4	-3	-2	-1	0	1	2	3	4	5	6
-6	7	6	7	6	7	7	7	4	4	2	0	0	0
-5	6	6	6	6	6	6	6	4	4	2	0	0	0
-4	7	6	7	6	7	7	7	4	4	2	0	0	0
-3	6	6	6	6	6	6	6	3	2	0	-1	-1	-1
-2	4	4	4	5	4	4	4	1	0	0	-1	-1	-1
-1	4	4	4	5	4	4	1	0	0	0	-3	-2	-1
0-	4	4	4	5	1	1	0	-1	-1	-1	-4	-4	-4
0+	4	4	4	5	1	1	0	-1	-1	-1	-4	-4	-4
1	2	2	2	2	0	0	-1	-4	-4	-3	-4	-4	-4
2	1	1	1	-2	0	-3	-4	-4	-4	-3	-4	-4	-4
3	0	0	0	0	-3	-3	-6	-6	-6	-6	-6	-6	-6
4	0	0	0	-2	-4	-4	-7	-7	-7	-6	-7	-6	-7
5	0	0	0	-2	-4	-4	-6	-6	-6	-6	-6	-6	-6
6	0	0	0	-2	-4	-4	-7	-7	-7	-6	-7	-6	-7

Acest tabel contine acum cantitati numerice precise utilizate de catre sistemele hardware industriale. In cazul in care valorile din tabelul 7.4 sunt reprezentate intr-un sistem tri-ortogonal avand axele e , Δe si Δu , ele reprezinta *suprafata de control* (de raspuns).

7.11. PROBLEMA “PENDULUL INVERS” [10]

Figura 7.18 prezinta un *pendul invers*, care a constituit un caz de studiu important in teoria controlului fuzzy .

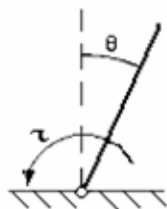


Fig. 7.18

Se doreste proiectarea si analiza unui controler fuzzy pentru sistemul alcătuit dintr-un pendul invers a carei ecuație diferențială este data de:

$$\begin{aligned} J \cdot d^2\theta/dt^2 &= (m \ell g) \sin \theta - \tau ; \\ -m \ell^2 \cdot d^2\theta/dt^2 + (m \ell g) \sin \theta &= \tau = u(t) , \end{aligned}$$

in care m = masa pendulului , ℓ = lungimea pendulului , θ = deviația unghiulară in raport cu axa verticală , in sensul acelor de ceas , $\tau = u(t)$ = cuplul aplicat pendulului (in sens trigonometric), adica actiunea de control.

Sinteză controlerului. Presupunând $x_1 = \theta$ si $x_2 = d\theta/dt$ variabilele de stare, reprezentarea spatiului de stare pentru sistemul neliniar definit prin ecuația anterioara este data prin:

$$d x_1 / d t = x_2 ; \quad d x_2 / d t = (g / \ell) \sin x_1 - (1 / m \ell^2) u(t) .$$

Se cunoaste ca pentru unghiuri θ mici $\sin \theta \approx \theta$, cu unghiul θ masurat in radiani. Aceasta relație este folosita pentru liniarizarea ecuațiilor neliniare de stare:

$$d x_1 / d t = x_2 ; \quad d x_2 / d t = (g / \ell) x_1 - (1 / m \ell^2) u(t) .$$

Daca x_1 este masurat in “grade” si x_2 este masurat in “grade pe secunda“ prin alegerea lui $\ell = g$ si $m = 180 / (\pi \cdot \ell^2)$,

(egalitati numerice) se obtin ecuațiile discrete si liniarizate, care pot fi reprezentate prin ecuațiile cu diferente : $d x_1 / d t = x_2$; $d x_2 / d t = x_1 - u$.

$$x_1(k+1) = x_1(k) + x_2(k) ; \quad x_2(k+1) = x_1(k) + x_2(k) - u(t) .$$

Pentru aceasta problema se presupune ca universurile de discurs pentru cele doua variabile sunt:

$$-2^\circ \leq x_1 \leq 2^\circ \quad \text{si} \quad -5^\circ/\text{s} \leq x_2 \leq 5^\circ/\text{s}.$$

Pasul 1.- Se construiesc functiile de apartenenta pentru marimile de intrare ca multimi fuzzy: x_1 pe universul de discurs $[-2^\circ, 2^\circ]$ pentru valorile lingvistice *pozitiv* (*P*), *zero* (*Z*) si *negativ* (*N*) asa cum se arata in figura 7.19a; x_2 cu valorile lingvistice *pozitiv* (*P*), *zero* (*Z*) si *negativ* (*N*) definite pe universul de discurs $[-5^\circ/\text{s}, +5^\circ/\text{s}]$, asa cum se arata in figura 7.19b.

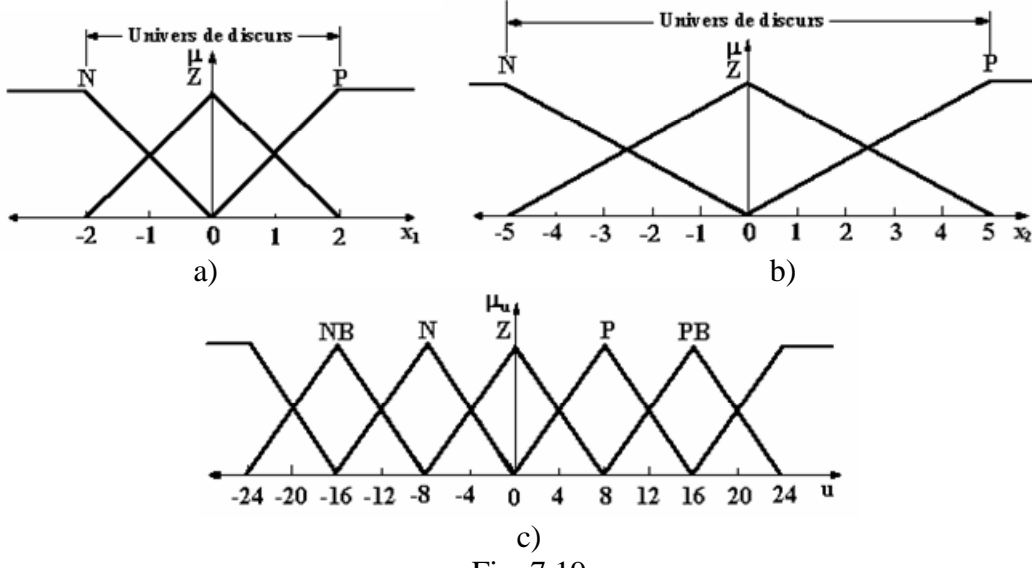


Fig. 7.19

Pasul 2.- Pentru partitionarea spatiului de control (iesire) se vor construi cinci functii de apartenenta aferente lui $u(k)$ pe universul sau de discurs $(-24 \leq u(k) \leq 24 \text{ N.m.rad.})$, asa cum se arata in figura 7.19c. De notat este faptul ca universul de discurs a fost partitionat in sapte valori lingvistice din care vor fi folosite numai cinci (*NB*, *N*, *Z*, *P*, *PB*).

x_1	x_2	<i>P</i>	<i>Z</i>	<i>N</i>
<i>P</i>	<i>PB</i>	<i>P</i>	<i>Z</i>	
<i>Z</i>	<i>P</i>	<i>Z</i>	<i>N</i>	
<i>N</i>	<i>Z</i>	<i>N</i>	<i>NB</i>	

Pasul 3.- Se construiesc noua reguli de control (chiar daca nu se folosesc toate) conform tabelei alaturate.

Pasul 4.- Utilizând regulile reprezentate in tabela, se vor realiza inferentele fuzzy, bazându-ne pe conditiile initiale crisp $x_1(0) = 1^\circ$ si $x_2(0) = -4^\circ/\text{s}$ in patru parti ($0 \leq k \leq 3$).

Fiecare ciclu de simulare se va baza pe functiile de apartenenta aferente variabilelor de intrare si va produce functia de apartenenta corespunzatoare actiunii de control $u(k)$. Se va defuzzifica functia de apartenenta pentru marimea de control folosind metoda centrului de greutate, dupa care se vor folosi ecuatii cu diferente in vederea obtinerii noilor valori pentru x_1 si x_2 . Fiecare ciclu de simulare, diferit de cel initial, va demara cu noile valori pentru x_1 si x_2 ca si conditii initiale pentru ciclul urmator. In figura 7.20 sunt evidențiate conditiile initiale pentru x_1 si respectiv x_2 . Din tabela de control rezulta:

Daca ($x_1 = P$) si ($x_2 = Z$), atunci ($u = P$) $\Leftrightarrow \min(0.5, 0.2) = 0.2 (P)$;

Daca ($x_1 = P$) si ($x_2 = N$), atunci ($u = Z$) $\Leftrightarrow \min(0.5, 0.8) = 0.5 (Z)$;

Daca ($x_1 = Z$) si ($x_2 = Z$), atunci ($u = Z$) $\Leftrightarrow \min(0.5, 0.2) = 0.2 (Z)$;

Daca ($x_1 = Z$) si ($x_2 = N$), atunci ($u = N$) $\Leftrightarrow \min(0.5, 0.8) = 0.5 (N)$

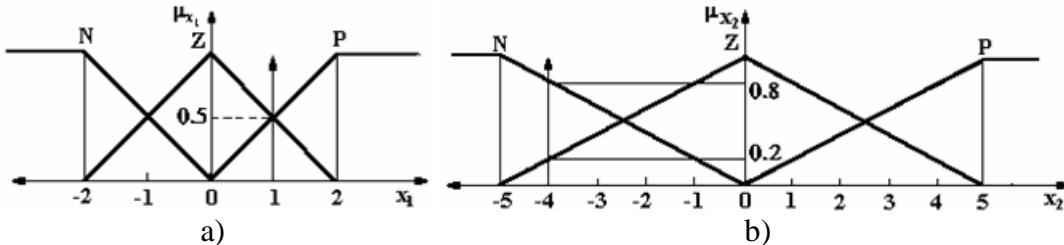


Fig. 7.20

Figura 7.21a evidențiază reunirea multimilor fuzzy trunchiate corespunzătoare variabilei de control u , iar in figura 7.21b se reprezinta valoarea de control defuzzificată u^* .

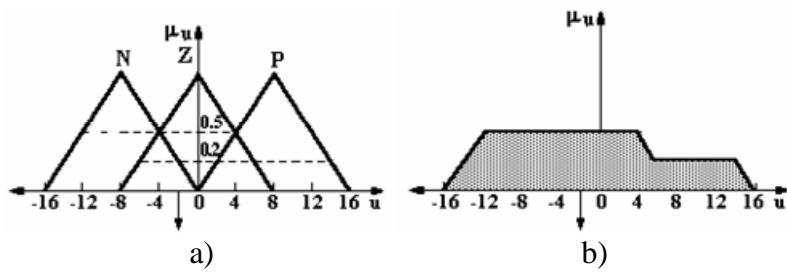


Fig. 7.21

In felul acesta primul ciclu al simularii se incheie. Cu valoarea defuzzificata a variabilei de control ($u = -2$) si folosind ecuatii:

$x_1(k+1) = x_1(k) + x_2(k)$; $x_2(k+1) = x_1(k) + x_2(k) - u(t)$,
se determina conditiile initiale pentru iteratia urmatoare (fig. 7.22), si anume:

$$x_1(1) = x_1(0) + x_2(0) = 1 - 4 = -3 ; \\ x_2(1) = x_1(0) + x_2(0) - u(0) = 1 - 4 - (-2) = -1 .$$

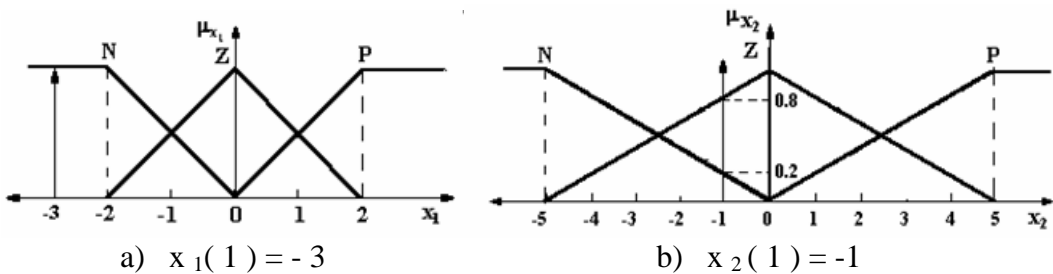


Fig. 7.22

Din tabela de control se obtine:

Daca ($x_1 = N$) si ($x_2 = N$), atunci ($u = NB$) ; $\min(1, 0.2) = 0.2$ (NB) ;

Daca ($x_1 = N$) si ($x_2 = Z$), atunci ($u = N$) ; $\min(1, 0.8) = 0.8$ (N) .

Prin reuniunea consecventilor fuzzy si defuzzificarea iesirii se obtine la acest ciclu de inferenta valoarea de control $u = -9.6$ (conform fig. 7.23).

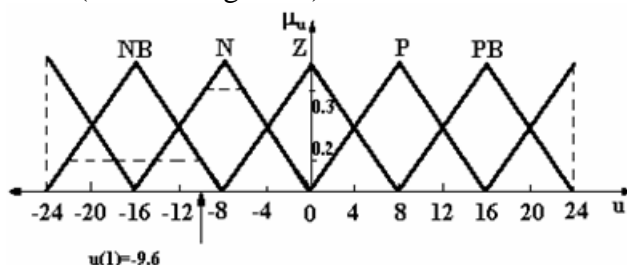


Fig. 7.23

Se utilizeaza in acest moment $u = -9.6$ pentru determinarea conditiilor initiale corespunzatoare iteratiei 3 (aratate in figura 7.24), dupa cum urmeaza:

$$x_1(2) = x_1(1) + x_2(1) = -3 - 1 = -4 , \\ x_2(2) = x_1(1) + x_2(1) - u(1) = -3 - 1 - (-9.6) = +5.6 .$$

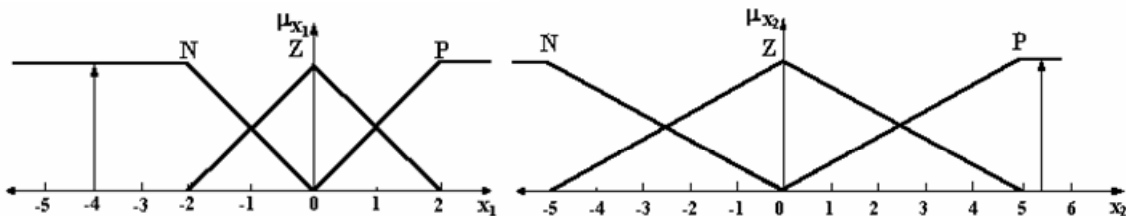


Fig. 7.24

Utilizând in continuare tabela de control se obtine pentru aceste valori **regula**:

Daca ($x_1 = N$) si ($x_2 = P$), atunci ($u = Z$) ; $\min(1, 1) = 1$ (Z) .

Rezultatele activarii acestei reguli si valoarea defuzzificata a variabilei de control $u(z) = 0.0$

sunt arătate în figura 7.25, noile valori initiale pentru iteratia urmatoare fiind:

$$x_1(3) = x_1(2) + x_2(2) = -4 + 5.6 = 1.6$$

$$x_2(3) = x_1(2) + x_2(2) - u(2) = -4 + 5.6 - (-0.0) = 1.6 \text{ (conform fig. 7.26).}$$

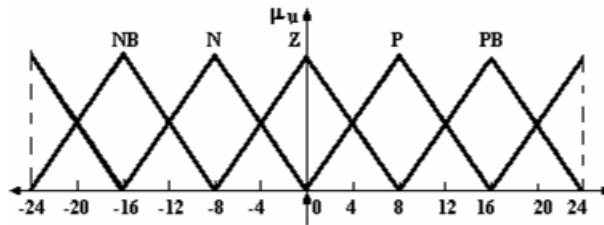


Fig. 7.25

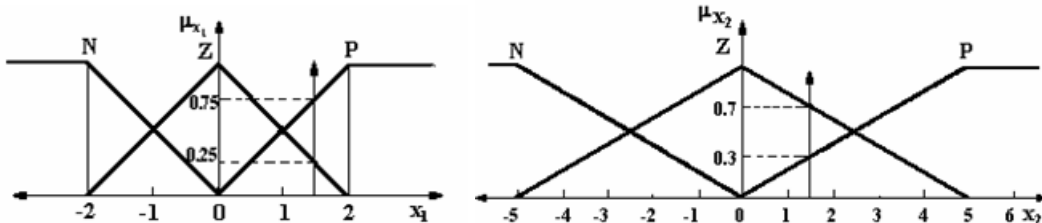


Fig. 7.26

Din tabela de control obtinem:

Daca $(x_1 = Z)$ si $(x_2 = P)$, atunci $(u = P)$; $\min(0.25, 0.3) = 0.3$ (P) ;

Daca $(x_1 = Z)$ si $(x_2 = Z)$, atunci $(u = Z)$; $\min(0.25, 0.7) = 0.25$ (Z) ;

Daca $(x_1 = P)$ si $(x_2 = P)$, atunci $(u = PB)$; $\min(0.75, 0.3) = 0.3$ (PB) ;

Daca $(x_1 = P)$ si $(x_2 = Z)$, atunci $(u = P)$; $\min(0.75, 0.7) = 0.7$ (P) .

arătate grafic în figura 7.27, valoarea defuzzificată pentru marimea de comandă fiind

$$u(3) = 5.28 .$$

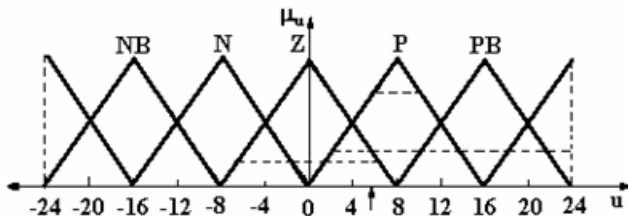


Fig. 7.27

Pentru $u(3) = 5.28$ se determină condițiile initiale pentru iteratia urmatoare, obținându-se:

$$x_1(4) = x_1(3) + x_2(3) = 1.6 + 1.6 = 3.2 ;$$

$$x_2(4) = x_1(3) + x_2(3) - u(3) = 1.6 + 1.6 - (5.28) = -2.08 .$$

Rezulta în aceasta situație valoarea $u(4) = 1.12$ și procesul de simulare poate continua cu un număr de pasi corespunzător până acțiunea de control duce sistemul într-o stare stabila .

7.12. CONTROLUL FUZZY ADAPTIV

Cele mai multe procese din lumea reală, la care se aplică controlul automat, sunt neliniare, adică valorile parametrilor proprii se modifică odată cu schimbarea punctului de operare. Cum schemele de control convenționale sunt liniare, un controler poate fi reglat pentru a avea o bună performanță la un punct de operare particular, sau pentru o perioadă limitată de timp. Controlerel trebuie să fie reglate din nou dacă punctul de operare se schimbă, sau reglate periodic dacă procesul este variabil în timp. Aceste considerente au condus la apariția *controlerelor adaptive*, care se autoreglează pentru a corespunde caracteristicilor curente ale procesului.

Controlerle fuzzy contin un număr de parametrii care se pot altera în vederea modificării performanței și anume:

- regulile *if – then*; - factorii de scădere; - multimile fuzzy reprezentând semnificația valorilor lingvistice.

Vom utiliza numai primele doua metode.

Componenta adaptiva a *controlerului fuzzy adaptiv* constă din două parti:

- a)- evaluarea performantei;
- b)- mecanismul de adaptare.

a)- Evaluarea performantei reprezintă o valoare pentru **corectia ceruta la iesirea procesului** y în vederea obținerii unei bune performante.

De exemplu: *if E is VL and ΔE is VL, then C is NVL*,

unde C este **corectia ceruta**, $Z = \text{zero}$, $S = \text{mic (small)}$, $M = \text{mediu}$, $L = \text{mare (large)}$, $J = \text{exact (just)}$, $V = \text{foarte (very)}$, $P = \text{pozitiv}$, $N = \text{negativ}$. Adică, dacă eroarea este mare și crește rapid, atunci este necesară o corecție mare pentru ca procesul să revină la punctul de operare. Întreaga evaluare este descrisă în **tabelul de decizie 7.5** (din [8]).

Tabelul 7.5

		Change in error (ΔE)												
		Towards set - point							Away from set - point					
		NVL	NL	NJL	NM	NJM	NS	Z	S	JM	M	JL	L	VL
Below set - point	NVL	Z	Z	Z	Z	Z	Z	VL	VL	VL	VL	VL	VL	VL
	NL	Z	Z	Z	JM	JM	M	VL	VL	VL	VL	VL	VL	VL
	NJL	Z	Z	Z	JM	JL	L	VL	VL	VL	VL	VL	VL	VL
	NM	Z	Z	Z	JM	JM	M	JL	JL	JL	JL	L	L	VL
	NJM	Z	Z	Z	Z	Z	JM	JM	JM	M	JL	L	VL	VL
	NS	Z	Z	Z	Z	Z	S	S	S	JM	M	JL	L	VL
Error E	NZ	Z	Z	Z	Z	Z	Z	Z	Z	S	JM	M	J	;
	PZ	Z	Z	Z	Z	Z	Z	Z	Z	NS	NJM	NM	NJL	NJL
	S	Z	Z	Z	Z	Z	NS	NS	NS	NJM	NM	NJL	NJL	NL
	JM	Z	Z	Z	Z	Z	NJM	NJM	NJM	NM	NJL	NL	NVL	NVL
	Above set - point	M	Z	Z	NJM	NJM	NM	NJL	NJL	NJL	NJL	NL	NL	NVL
	JL	Z	Z	Z	NJM	NJL	NL	NVL	NVL	NVL	NVL	NVL	NVL	NVL
VL	Z	Z	Z	NJM	NJM	NM	NVL	NVL	NVL	NVL	NVL	NVL	NVL	NVL
	Z	Z	Z	Z	Z	NVL	NVL	NVL	NVL	NVL	NVL	NVL	NVL	NVL

Starea controlului este monitorizată de *modulul “Rule Modification”*. Cand se detectează o iesire nedorită din proces, regulile de control fuzzy sunt modificate pe baza corectiilor din tabelul de decizie.

Pentru a adapta controlerul este necesară o corecție corespunzătoare a **iesirii de control**. Deci corectia ceruta la **iesirea din proces** trebuie să fie transmisă ca modificare a **intrarii în proces**, adică a **iesirii de control**.

Pentru un sistem cu o singură intrare și o singură iesire, dacă evaluarea performantei specifică, la timpul nT , corectia ceruta la **iesirea procesului** $\Delta y(nT) = c(nT)$, atunci modificare impusă la **intrarea în proces**, sau corectia intrarii, este data de $r(nT) = c(nT)$, adică **ameliorarea intrarii se ia egală cu corectia ceruta la iesire** [2].

Aceasta *ameliorare (corectie) a intrarii r(nT)* reprezintă cantitatea care trebuie adăugată intrării în proces (adică - iesirii din controler), pentru a compensa slabile performante curente.

b)- Mecanismul de adaptare

Se pune întrebarea: care iesiri din controler sunt responsabile de aceste slabe performante? Aceasta depinde de dinamica procesului. Un proces de ordin înalt, cu decalaje mari de timp, pretinde ajustarea pe o lungă perioadă de timp a iesirilor din control, și viceversa. Iesurile din controler supuse corectiei se aleg în faza proiectării sistemului de control.

Notăm *esantionul actual de timp* cu n și admitem că iesirea din controler, considerată cu m intervale de timp înapoi, are o influență majoră asupra performantei reglajului actual. Valorile numerice ale erorii, variației erorii și iesirii din controler la acel timp (din trecut) erau $e(nT - mT)$, $\Delta e(nT - mT)$ și $u(nT - mT)$, respectiv.

ACESTE VALORI POT FI DESCRISE DE MULTIMILE FUZZY (ANALOG CU (7.33)):

$$\tilde{L}\tilde{H}_{n-m}(h) = \begin{cases} 1, & \text{if } h = h(nT - mT) \\ 0, & \text{otherwise,} \end{cases} \quad (7.50)$$

unde \tilde{H} este \tilde{E} , sau $\tilde{\Delta E}$, sau \tilde{U} , iar h este e , sau Δe , sau u , respectiv.

Raspunsul controlerului la m intervale de timp in trecut se poate exprima prin setul de n reguli:

if E is $LE_{n-m}^{(i)}$ and ΔE is $L\Delta E_{n-m}^{(i)}$, then U is $LU_{n-m}^{(i)}$, ($i = 1, 2, \dots, n$). (7.51)

Consideram, deci, ca evaluarea performantei clasifica performanta actuala ca slabă și indică modificarea iesirii din controler (considerată cu m intervale de timp în trecut), printr-o ameliorare a intrării cu $r(nT)$; adică, iesirea din controler la acel moment (din trecut) trebuie să fie: $v(nT - mT) = u(nT - mT) + r(nT)$

și nu $u(nT - mT)$

Aceasta nouă iesire din control este descrisă de multimea fuzzy:

$$\tilde{LV}_{n-m}(u) = \begin{cases} 1, & \text{if } u = u(nT - mT) + r(nT) \\ 0, & \text{otherwise,} \end{cases} \quad (7.53)$$

iar raspunsul corect al controlerului este descrisă de setul de n reguli:

if E is $LE_{n-m}^{(i)}$ and ΔE is $L\Delta E_{n-m}^{(i)}$, then U is $LV_{n-m}^{(i)}$, ($i = 1, 2, \dots, n$). (7.54)

Pentru a adapta controlerul să reflecte acest nou răspuns, regula i (cea rea) care indică iesirea din control $LU_{n-m}^{(i)}$, trebuie să fie stearsa și regula nouă (cea bună) care indică iesirea din control $LV_{n-m}^{(i)}$, trebuie să fie inserată în locul ei.

Considerăm că la esantionul de timp n setul complet de reguli este descris de relația matricială R_n . Semnificațiile regulilor *rea* (7.51) și *buna* (7.54) pot fi exprimate prin matricele cu relații fuzzy: $R_{bad} = LE_{n-m} \times L\Delta E_{n-m} \times LU_{n-m}$; $R_{good} = LE_{n-m} \times L\Delta E_{n-m} \times LV_{n-m}$, (7.55) unde “ x ” este produsul cartezian.

Trebuie să fie generată o nouă matrice relatională R_{n+1} care să nu mai includă relația R_{bad} , dar să includă relația R_{good} . Aceste cerințe se pot exprima simbolic:

$$R_{n+1} = (R_n \text{ but not } R_{bad}) \text{ else } R_{good}, \text{ adică } R_{n+1} = (R_n \cap R_{bad}) \cup R_{good} \quad (7.56)$$

unde R' este *complementul* lui R ; altfel spus, în R_{n+1} toate elementele corespunzătoare lui R_{bad} au fost înlocuite cu elementele lui R_{good} .

7.13. CONTROLERUL FUZZY

7.13.1. INTRODUCERE

In [3] se propune un controler fuzzy (fig. 7.28) cu o bază de reguli optimă, realizată printr-un proces automat, adaptiv. El se compune din trei subsisteme:

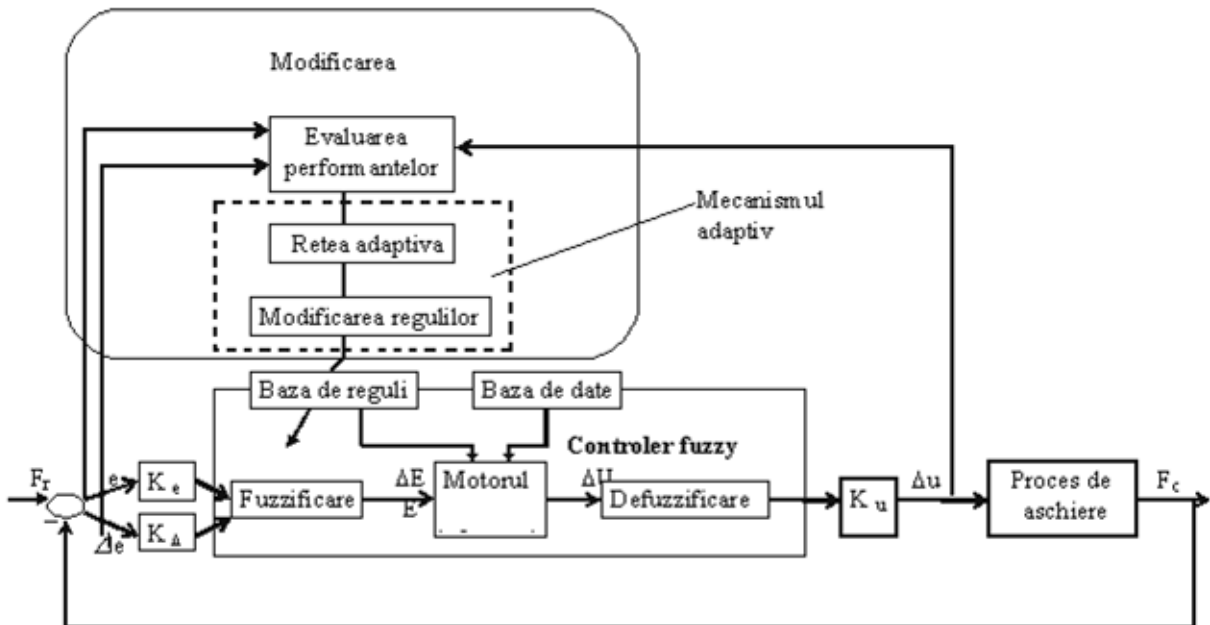


Fig. 7.28

- un controler fuzzy;

- factori de scara on-line *adaptati* pentru diferite conditii de aschiere;
- un subsistem off-line auto-instruibil pentru modificarea bazei de reguli.

Etapele proiectarii unui astfel de controler fuzzy adaptiv sunt urmatoarele:

1)- Stabilirea variabilelor de intrare

Variabilele de intrare **eroarea fortei** e si **variatia erorii fortei** Δe au definitiile [analoage cu (7.5, 7.6)]: $e(j) = [F_r - F_c(j)]K_e$, (7.57)

unde F_r este valoarea de referinta a fortei de aschiere, iar F_c - valoarea curenta a acestei forte.

$$\Delta e = (\text{eroarea curenta a fortei} - \text{eroarea precedenta a fortei}) \cdot K_{\Delta} =$$

$$= [e(j) - e(j-1)] \cdot K_{\Delta} = [F_c(j-1) - F_c(j)] K_e K_{\Delta}, \quad (7.58)$$

unde K_e si K_{Δ} sunt factorii de scara pe care ii vom explica mai jos.

In continuare, e si Δe sunt fuzzificate, devenind variabilele lingvistice E si ΔE , adecvate pentru rationamentul (inferenta) fuzzy.

2)- Generarea bazei de date

In figura 7.3 se prezinta functiile de apartenenta uzuale, pentru multimile fuzzy in domeniul E si ΔE . Figura 7.29 [3] ilustreaza functiile de apartenenta in domeniul iesirii ΔU , care urmeaza sa fie defuzzificate. Aceste functii sunt de tipul L (7.16), sau Γ (7.20).

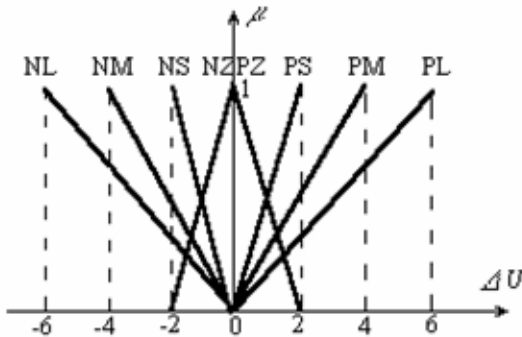


Fig. 7.29

3)- Generarea bazei de reguli

In general, o baza de reguli *simetrica* este mai adevarata scopurilor controlului [3]. In cazul controlerului fuzzy, fiecare element al multimii fuzzy este cuantificat cu un index intreg, ca in (7.11): $L_1 = NB$, $L_2 = NM$, $L_3 = NS$, $L_4 = NZ$, $L_5 = PZ$, $L_6 = PS$, $L_7 = PM$, $L_8 = PB$. (7.59)

Baza de reguli *initiala* se poate obtine din urmatoarea functie [6]:

$$g(i, j) = \langle P \cdot i + Q \cdot j + R \rangle, \quad (7.60)$$

unde P , Q si R sunt constante care se aleg; i , j si g sunt indicii multimilor fuzzy din (7.53); operatorul “ $\langle \rangle$ ” este definit prin relatia: $\langle a \rangle = \min \{8, \{1, \max \langle a \rangle_o\}\}$, (7.61)

in care $\langle a \rangle_o$ este intregul cel mai apropiat de a .

In scopul controlului este de dorit sa se genereze o baza de reguli fuzzy simetrica, in care P si Q au - in general - valori apropiate; R determina simetria axiala a tabelului. In tabelul 7.6 se

Tabelul 7.6

		E							
		NB	NM	NS	NZ	PZ	PS	PM	PB
ΔE	NB	NB	NM	NM	NM	NS	NS	NZ	PZ
	NM	NB	NM	NM	NS	NS	NZ	PZ	PZ
	NS	NM	NM	NS	NS	NZ	PZ	PZ	PS
	NZ	NM	NS	NS	NZ	PZ	PZ	PS	PS
	PZ	NS	NS	NZ	NZ	PZ	PS	PS	PM
	PS	NS	NZ	NZ	PZ	PS	PS	PM	PM
	PM	NZ	NZ	PZ	PS	PS	PM	PM	PB
	PB	NZ	PZ	PS	PS	PM	PM	PB	PB

rezinta o baza *initiala* de reguli, dedusa pentru : $P = 0.58$; $Q = 0.54$; $R = -0.54$, deci $g(i, j) = \langle 0.58 * i + 0.54 * j - 0.54 \rangle = \langle 0.54 * (i + j - 1) + 0.04 * i \rangle$. (7.62)

De exemplu: pentru $i = 3$, (adica $E = L_3 = NS$) si $j = 6$ (adica $\Delta E = L_6 = PS$) se obtine: $g(3, 6) = < 0.54 * 8 + 0.04 * 3 > = < 4.44 > = \min\{8, \max\{1, 4\}\} = 4$, deci $\Delta U = L_4 = NZ$; $g(7, 8) = < 0.54 * 14 + 0.04 * 7 > = < 7.84 > = \min\{8, 8\} = 8$, deci $\Delta U = L_8 = PB$.

Cateva elemente din tabelul 7.6 difera numai cu o treapta de omoloagele lor din tabelul 7.1, din cauza generarii numerice a primelor.

Aceasta generare automata a bazei de reguli necesita modificarile ulterioare; o tehnica adaptiva pentru ameliorarea performantelor se prezinta in continuare.

4)- Generarea iesirii din mecanismul de inferenta

Regulile lingvistice de control au forma:

Regula i, j : Daca E este A_i si ΔE este B_j atunci ΔU este C_{ij} , ($i, j = 1, 2, \dots, 8$), (7.63)
unde A_i, B_j si C_{ij} sunt valori lingvistice.

In controlerul nostru sunt $8 * 8 = 64$ reguli de control.

Example

Consideram valoarea exacta $e^* = 2.25$ si $\Delta e^* = 6.1$. Din figurile 7.30 si 7.29 se constata ca in acest caz urmatoarele valori lingvistice si respectivele grade fuzzy vor fi activate: "E" : $PS \leftrightarrow \mu_{PS}(2.25) = 0.75$; $PM \leftrightarrow \mu_{PM}(2.25) = 0.25$.

" ΔE " : $PB \leftrightarrow \mu_{PB}(6.1) = 1$.

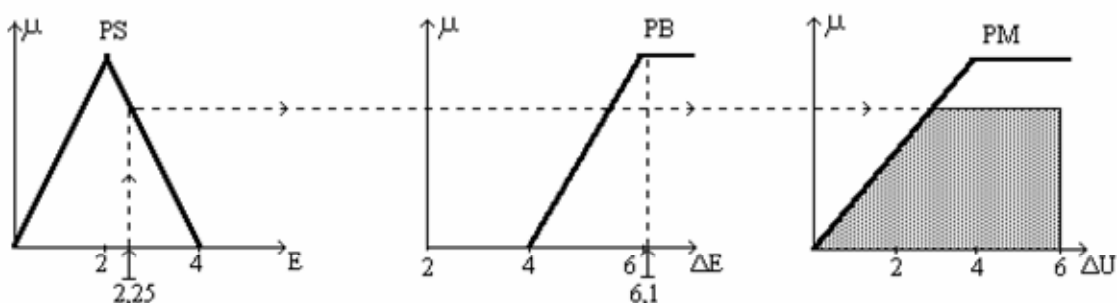


Fig. 7.30

Ca urmare, din baza de reguli (tab. 7.6) numai doua reguli sunt active:

$R(6, 8)$: If E is PS and ΔE is PB , then ΔU is PM ;

$R(7, 8)$: If E is PM and ΔE is PB , then ΔU is PB .

Observatie: Valoarea lui ΔE a fost deliberat aleasa $\Delta e > 6$ pentru reducerea (la doua) a numarului regulilor activeate; daca am fi ales o valoare $|\Delta e| < 6$, ar fi fost activeate 4 reguli.

In figurile 7.30 si 7.31 se poate vedea aplicarea modului de lucru (fig. 7.10) pentru cele doua reguli de mai sus. In figura 7.30, pentru $R(6, 8)$: $\mu_{ant} = \min(0.75; 1) = 0.75$; in a treia figura apare multimea fuzzy retezata (hasurata) μ_{CPM} . In figura 7.31, pentru $R(7, 8)$: $\mu_{ant} = \min(0.25; 1) = 0.25 \Rightarrow \mu_{CPB}$.

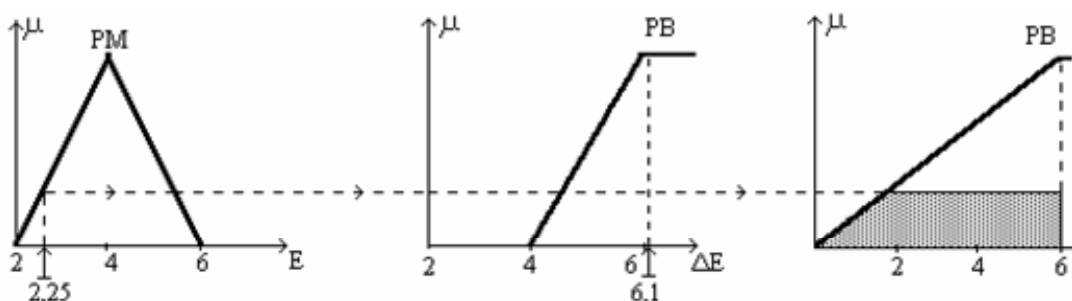


Fig. 7.31

In figura 7.32, in concordanță cu relația (7.46):

$$\mu_{\Delta U}(\Delta u) = \max(\mu_{CPM}, \mu_{CPB}).$$

5)- Defuzzificarea iesirii

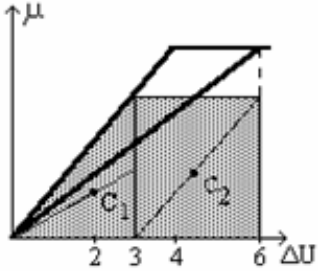


Fig. 7.32

Iesirea Δu , utilizata la modificarea avansului masinii, o obtinem cu metoda (abscisei) centrului de masa. Pentru suprafata hasurata din figura 7.32, centrul de masa are abscisa:

$$\begin{aligned}\Delta u^* &= \frac{A_1 \Delta u_{C1} + A_2 \Delta u_{C2}}{A_1 + A_2} = \frac{(3 \cdot 0.75/2) \cdot 2 / 3 \cdot 3 + 3 \cdot 0.75 \cdot 4.5}{3 \cdot 0.75/2 + 3 \cdot 0.75} = \\ &= 3.67 ; \text{ and } \Delta u = \Delta u^* \cdot K_u\end{aligned}\quad (7.64)$$

7.13.2. ADAPTAREA ON - LINE A FACTORILOR DE SCARA

Marirea factorilor de scara a intrarii K_e si K_d duce la cresterea sensibilitatii in apropierea punctului de functionare stabila, o mai mica sensibilitate in timp si viceversa. Pe de alta parte, alegerea unui mic factor K_u are ca efect o crestere lenta in timp a raspunsului [3].

Obiectivul controlului, in cazul controlerului fuzzy adaptiv pentru mentinerea fortei de aschiere *constanta*, este realizarea unei *benzi de toleranta in jurul fortei de referinta*. Daca forta cade inauntrul acestei benzi, controlerul trebuie sa genereze actiuni de control mici, sau neglijabile, astfel ca sa nu afecteze serios procesul de aschiere. La aparitia unei schimbari bruste a conditiilor de aschiere, forta va iesi din aceasta banda si controlerul trebuie sa genereze o actiune de control substantiala, pentru a compensa aceasta eroare semnificativa a fortei.

Pentru o aschiere cu freza deget in [3] s-a luat **valoarea de referinta** a fortei de aschiere $F_r = 20 N$, cu o **banda de toleranta** de $\pm 10\%$, iar factorul de scara:

$$K_e = \begin{cases} 0,2 & \text{daca } |F_r - F_c| \leq 2 \\ 1 & \text{daca } |F_r - F_c| > 2 \end{cases}, \quad (7.65)$$

numarul 2 fiind 20 % din 20 N.

Factorul de scara pentru variatia erorii - care are un rol important in raspunsul tranzitoriu - s-a luat $K_d = 3$.

Factorul de scara al iesirii K_u joaca rolul de factor general de amplificare al controlerului, adica mentine amplificarea intregului sistem constanta, astfel ca o forta constanta este imuna la schimbarile conditiilor de aschiere. Este evident ca supraincarcarea sculei va duce la distrugerea ei, fiind de dorit regimul de subincarcare. Ca urmare, in [3] se prevede:

$$K_u = \begin{cases} [0.0003 \times e(nT) + 0.0084] \times U_{com}(nT - T), & \text{daca } e(nT) \geq 0 \text{ subincarcare } (F_c \leq F_r); \\ [-0.0005 \times e(nT) + 0.0157] \times U_{com}(nT - T), & \text{daca } e(nT) < 0 \text{ supraincarcare } (F_c > F_r), \end{cases} \quad (7.66)$$

unde nT este esantionul curent de timp, iar U_{com} este comanda avansului masinii.

Se observa ca in cazul supraincarcarii constantele alese sunt aproape duble in comparatie cu cele de la subincarcare, controlerul realizand astfel o scadere rapida a avansului in situatia supraincarcarii si o crestere lenta la subincarcare, prevenind astfel distrugerea sculei.

7.13.3. ALGORITMUL ADAPTIV

Ecuatiile (7.60 si 7.61) genereaza o baza de reguli foarte elementara; sunt necesare modificarile ulterioare pentru a atinge performante de control mai bune. Pentru ameliorarea controlului este necesara **o corectie corespunzatoare aplicata intrarii in proces**.

a)- Evaluarea performantelor

Intrucat scopul controlului este mentinerea fortei de aschiere in cadrul unei benzi de toleranta, tinta controlului se va lua in jurul erorii nule, adica $T = \{NZ, PZ\} = \{L_4, L_5\}$. (7.67)

Intr-un controler fuzzy *adaptiv* calitatea controlului este data de patru elemente: $e(nT - mT)$, $\Delta e(nT - mT)$, $\Delta u(nT - mT)$ si $e(nT)$, respectiv. Aceste valori se pot descrie prin multimi fuzzy:

$$E(nT - mT) = F[e(nT - mT)] ; \Delta E(nT - mT) = F[\Delta e(nT - mT)] ; \\ \Delta U(nT - mT) = F[\Delta u(nT - mT)] ; E(nT) = F[e(nT)] , \quad (7.68)$$

unde F reprezinta procesul de fuzificare, iar aceste patru submultimi apartin multimii de valori lingvistice (7.59): $\{L_1, L_2, \dots, L_8\}$, fiind notate - respectiv - cu: $L_i, L_j, L_{K_{ij}}, L_{p_{ij}}$. Ca urmare, un set de date D_n corespunzator unui moment oarecare se poate defini:

$$D_n = \{i, j, K_{ij}, p_{ij}\} , (n = 1, 2, \dots, N) , \quad (7.69)$$

unde N este numarul esantioanelor de timp.

Relatia (7.68) arata ca marimile corespunzatoare simbolurilor i, j si K_{ij} (la m intervale de timp in trecut) sunt dominante pentru performanta prezenta p_{ij} .

b)- Mecanismul adaptiv este compus din:

b1)- Reteaua adaptiva

Toate seriile D_n se vor procesa in cadrul retelei adaptive (ce contine $8 \times 8 = 64$ noduri) ca in figura 7.33, generand o corectie ΔK_{ij} care modifica baza de reguli.

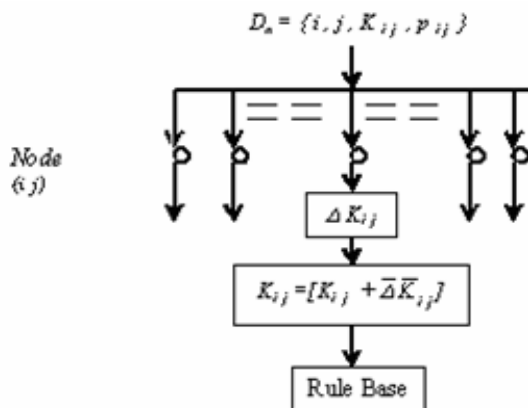


Figura 7.33

b2)- Modificarea regulilor

Noul indice K_{ij} va fi: $K_{ij} = cel\ mai\ apropiat\ intreg\ de\ (K_{ij} + \bar{\Delta}K_{ij})$, (7.71)

unde $\bar{\Delta}K_{ij}$ este media valorilor ΔK_{ij} pentru nodul (i, j) rezultate din prelucrarea unui grup de date.

7.13.4. SIMULARE

Consideram strunjirea semifabricatului din figura 7.34, parametrii regimului de aschieri fiind:

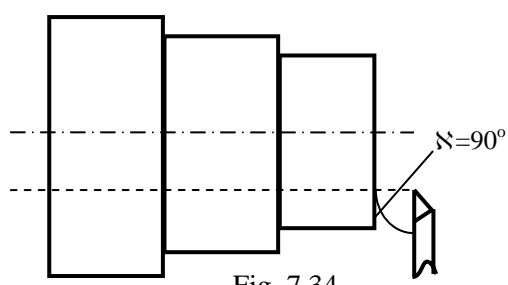


Fig. 7.34

$$n = 1500\ rot/min. = 25\ rot/s. ; s = 0,2\ mm/rot. ; t_{min} = 0,2\ mm ; t_{max} = 0,7\ mm ; \text{perioada de esantionare } \Delta T = 0,02\ s. \quad (7.72)$$

Forța de aschieri - la strunjire - are componente: F_x - forța radială (de respingere), F_y - forța tangențială (principala), F_z - forța axială (de avans). Aceste componente au expresiile [7]:

$$F_x = C_x(HB)^e \frac{1}{2} \left[1 + \left(\frac{\cos \aleph}{\cos 45^\circ} \right)^2 \right] t^{0,9} s^{0,75} [daN] \\ F_y = C_x(HB)^e \left(\frac{\sin 45^\circ}{\sin \aleph} \right)^{0,25} t s^{0,75} [daN] \quad (7.73)$$

$$F_z = C_z (HB)^e \left(\frac{\sin \aleph}{\sin 45^\circ} \right)^{0,5} t s^{0,4} [\text{daN}]$$

in care: t este adancimea de aschiere [mm];

s - avansul [mm / rot];

HB - duritatea Brinell a materialului prelucrat;

\aleph - unghiul de atac principal;

C_x, C_y, C_z si e au valorile din tabelul 7.7.

Tabelul 7.7

Material	Duritate HB	C_x	C_y	C_z	E
Oteluri si	≤ 170	18.13	27.9	11.16	0.35
aliaje de Al	> 170	2.32	3.57	1.43	0.75

Forța de aschiere rezultanta, care se dorește a fi constantă, este: $F = \sqrt{F_x^2 + F_y^2 + F_z^2}$. (7.74)

Calculam $F_{ext} = F(t_{ext})$, ($ext = min, max$) ; $t_{med} = (t_{min} + t_{max}) / 2$. (7.75)

Forța de referință o luăm: $F_r = F(t_{med})$, (7.76)

iar relația (7.65) o substituim cu: $K_e = \begin{cases} 0,2 & \text{daca } |F_r - F_c| \leq 0,1 \cdot F_r \\ 1 & \text{daca } |F_r - F_c| > 0,1 \cdot F_r \end{cases}$, (7.77)

0,1 reprezentând *banda de toleranță* de 10 %.

Calculam: $E_{ext} = (F_r - F_{ext})K_e$, ($ext = min, max$) ; $E_m = MAX(\sqrt{E_{min}}, \sqrt{E_{max}})$.

Aplicam relația (7.21): $E_n = \left(\frac{6}{E_m} \right) \cdot E$. (7.78)

Vom alege ΔE_m , iar $\Delta E_n = \left(\frac{6}{\Delta E_m} \right) \cdot \Delta E$. (7.79)

Marimile normalize E_n și ΔE_n sunt reprezentate grafic în figura 7.3, ΔU este în figura 7.29, iar baza **initială** de reguli este în tabelul 7.6.

Să vedem cum variază în timp forța principala de aschiere la intrarea cutitului în semifabricatul din figura 7.34:

- experiența arată că intrarea cutitului în semifabricat nu se produce la primul contact, ci după timpul $K_1 T$ (din cauza **elasticitatii** sistemului mecanic), unde T este perioada unei rotații complete a piesei, iar K_1 - un coeficient ce se poate determina experimental înregistrând variația forței de aschiere și observând momentul cand aceasta începe să crească.

- după intrarea cutitului în semifabricat este evident că la prima rotație, grosimea aschiei ($a = s$, s fiind avansul) variază liniară: $a = \lambda \tau$.

In [5] la pag. 379 se prezintă - sub formă unor curbe - rezultatele unui experiment privind influența variației grosimii aschiei asupra apasării specifice ($p = F_z / (a \cdot b)$, în care $b = t$, b fiind latimea aschiei, iar t - adâncimea de aschiere). Experimentul este realizat pentru procesul de *brosare*, dar cum *strunjirea* este un proces similar, considerăm că rezultatele se pot extrapola. Curbele - traseate pentru diferite materiale - se pot suficient de bine approxima cu *hiperbole*:

$$p = c / t ; \text{ dar } p = F_z / (s \cdot t), \text{ deci } c / t = F_z / (s \cdot t) \Rightarrow F_z = c \cdot s = c \lambda \tau ; F_z = K_2 \tau .$$

La următorul prag ($t = 0,4$) din figura 7.34, rationamentul se repetă, dar valoarea initială a forței F_z este egală cu valoarea ei finală din figura 7.35.

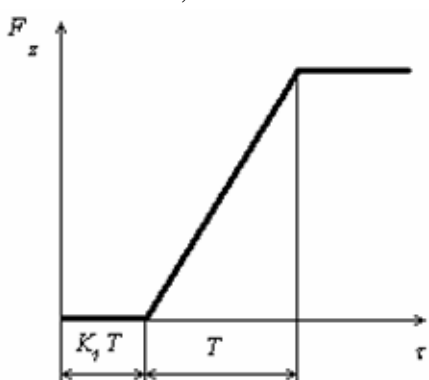


Fig. 7.35

BIBLIOGRAFIE

- 1.- Gh. Bastiurea, s.a., *Comanda numerică a mașinilor unelte*, Editura tehnica, 1976

- 2.- **D. Driankov, s.a.**, *An Introduction to Fuzzy Control*, Springer-Verlag, 1993
- 3.- **P. L. Hsu, W. R. Fann** *Fuzzy Adaptive Control of Machining Processes With a Self - Learning Algorithm*, Transactions of the ASME, Journal of Manufacturing Science and Engineering, nov. 1996, vol. 118, pag. 522
- 4.- **Y. Koren** *Control of Machine Tools*, in Transactions of the ASME, Journal of Manufacturing Science and Engineering, nov. 1997, vol. 119, pag. 749
- 5.- **A. Oprean, s.a.**, *Bazele aschierii si generarii suprafetelor*, EDP, Bucuresti, 1981
- 6.- **X. T. Peng** *Generating Rules for Fuzzy Logic Controller*, in *Fuzzy Sets and Systems*, 1990, vol. 36, no. 1, p. 83 - 89
- 7.- **C. Picos, et al.** *Normarea tehnica pentru prelucrari prin aschiere*, Editura Tehnica, Bucuresti, 1979
- 8.- **T. J. Procyk, E. H. Mamdani** *A Linguistic Self - Organizing Process Controller*, Automatica, 15 (1), 1979
- 9.- **L. A. Zadeh et al.** *Fuzzy Sets and Their Applications to Cognitive and Decision Processes*, New York, Academic Press, 1975
- 10.- **V . Mazilescu** *Sisteme de inteligenta artificiala*, Vol. II, Editura PAX AURA MUNDI, Galati, 1998